ISSN: 2582-4686 SJIF 2021-3.261,SJIF 2022-2.889,
2024-6.875 ResearchBib IF: 9.948 / 2024

THE MULTIDISCIPLINARY JOURNAL OF SCIENCE AND TECHNOLOGY

VOLUME-5, ISSUE-5

ПОСТРОЕНИЕ ТЕНЕЙ В АКСОНОМЕТРИЧЕСКИХ ПРОЕКЦИЯХ.

Ниғмонов Б–– доцент
Ташкентского архитектурно-строительного университета
Турсуналиев Н—старш.преподаватель
Ташкентского архитектурно-строительного университета

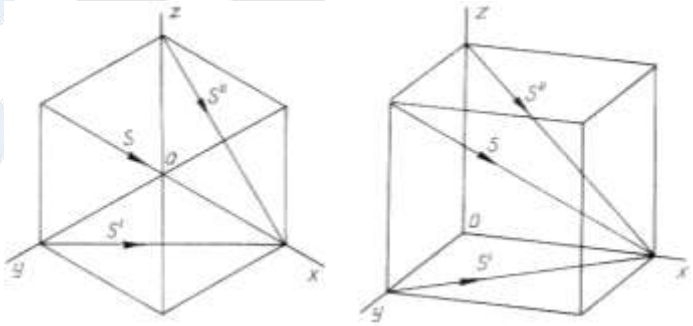
Аннотация: Целью данной статьи является ознакомление студентов с методами создания теней в аксонометрических проекциях, определения направления световых лучей, построения собственных и падающих теней, а также создания теней в ортогональных проекциях здания.
Ключевые слова: Аксонометрия, личные и падающие тени, ортогональность, геометрические тела, кратность, студент, метод, специалисты, законы пропорции, научное исследование, дидактика, теория, практическое применение, композиция, умение.

Тени в аксонометрических проекциях повышают наглядность изображений, облегчая их чтение и пространственное восприятие. Как и в ортогональных проекциях, в аксонометрии построение теней осуществляется путём определения точки пересечения светового луча с плоскостью (или поверхностью) — это основная задача при построении тени.

Для создания теней в аксонометрических проекциях чаще всего используется естественный источник света — Солнце (считается, что солнечные лучи расположены параллельно друг другу).

Направление светового луча. При построении теней в основном принимается направление светового луча по диагонали куба.

На рисунке 1 показано направление светового луча в изометрической проекции, а на рисунке 2 — в прямоугольной диметрической проекции, с определением направлений светового луча в пространстве и его проекций на горизонтальную (H) и фронтальную (V) плоскости. 1-рис. 2-рис.



В изометрии направление **s** совпадает с осью **x**. На чертежах при построении теней направление светового луча **s** и при необходимости его одна или все проекции показываются в свободной области чертежного листа.

Построение собственных и падающих теней геометрических тел.

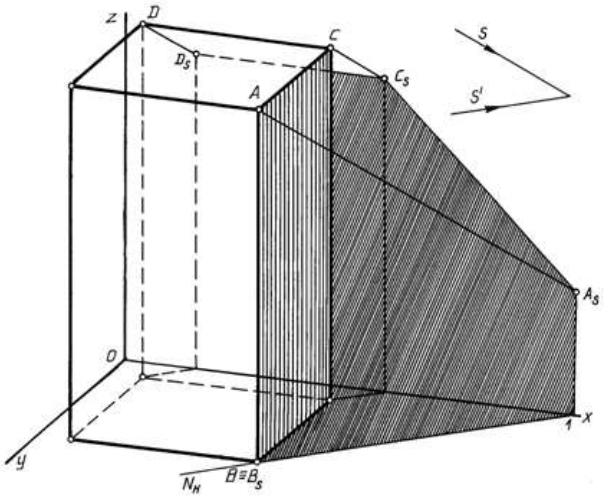
На рисунке 3 показано построение теней четырехгранной призмы на координатные плоскости в диметрии.

ISSN: 2582-4686 SJIF 2021-3.261,SJIF 2022-2.889,
2024-6.875 ResearchBib IF: 9.948 / 2024

THE MULTIDISCIPLINARY JOURNAL OF SCIENCE AND TECHNOLOGY

VOLUME-5, ISSUE-5

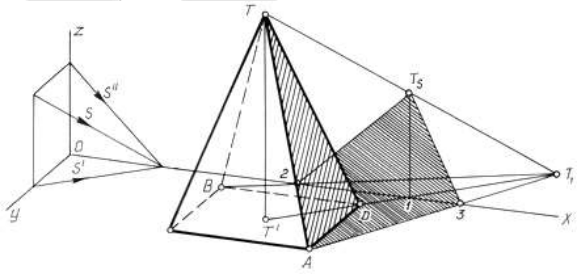
Для построения тени переднего вертикального ребра **AB**, через него проводят плоскость лучей **N**. Эта плоскость пересекает горизонтальную плоскость проекций по прямой, параллельной **s'**, а фронтальную — по вертикальной прямой. Луч, проведенный из точки **A**, параллельно **s**, пересекает вертикальную прямую в точке **As**, которая является проекцией тени точки **A** на фронтальную плоскость. Ломаная линия **BS1As** будет тенью ребра **AB**. Аналогично определяются точки **Cs** и **Ds**, соединяя которые, получают контур падающей тени от призмы. Правая и задняя грани призмы будут в собственной тени. 3-рис.



На рисунке 4 изображена правильная четырехугольная пирамида в диметрии. Построим тень пирамиды на горизонтальную (H) и фронтальную (V) плоскости.

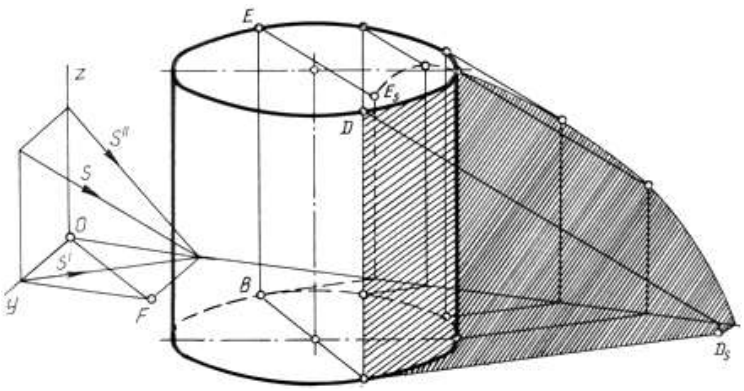
Из вершины пирамиды **T** проводят прямую (луч) параллельно направлению **s**, а из основания пирамиды **T'** — параллельно **s'**. Эти прямые пересекаются в точке **T1S**, которая является вспомогательной тенью точки **T** на горизонтальной плоскости. Из точки пересечения **1** прямой **T'T1S** с осью **x** проводят вертикальную прямую, которая пересекает **TT1S** в точке **Ts**. Ломаная **T'1Ts** — это тень высоты пирамиды **TT'**.

Из точки **T1s** проводят касательные **T1sA** и **T1 B** к основанию пирамиды. Эти линии определяют грани **TA** и **TB**, находящиеся в собственной тени, а также контур тени пирамиды на горизонтальную плоскость. Линии **T1SA** и **T1SB** пересекают ось **x** в точках **2** и **3**. Соединив точки **2** и **3** с **Ts**, получаем тень пирамиды на фронтальную плоскость. Грани **TAD** и **TDB** будут в собственной тени.



4-рис.

На рисунке 5 показано построение теней на диаметральной проекции прямого кругового цилиндра, лежащего в горизонтальной плоскости. Сначала определяем контур личной тени цилиндра. Для этого проводим образующие, параллельные направлению оси основания цилиндра. Чтобы точно найти точки касания, проводим прямую, параллельную диагонали основания куба **OF**, от центра основания цилиндра. Эта прямая пересекает образующие и дает точки касания **A** и **B.** С помощью образующих **AD** и **BE**, проходящих через точки **A** и **B**, строим контур личной тени цилиндра. Строим тени этих образующих в горизонтальной и фронтальной плоскостях (см. рисунок 4). Чтобы построить тень верхнего основания цилиндра, выбираем

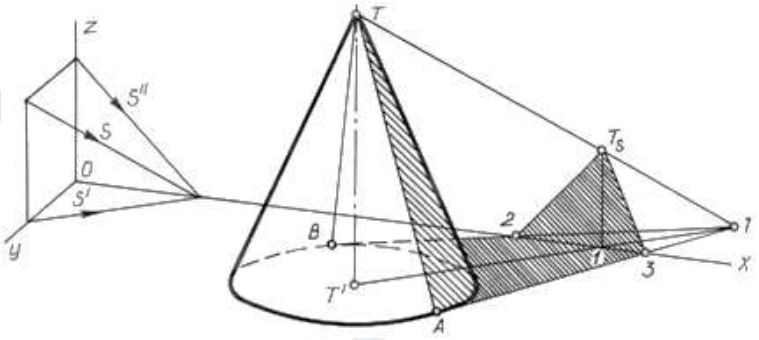


ISSN: 2582-4686 SJIF 2021-3.261,SJIF 2022-2.889,
2024-6.875 ResearchBib IF: 9.948 / 2024

несколько произвольных точек на нем, определяем их тени и соединяем найденные точки, образуя контур падающей тени.

5-рис.

На рисунке 6 показано построение теней правильного кругового конуса. Подобно построению теней для пирамиды, сначала определяются тени вершины конуса **T** в плоскостях **H** и **V**. Тени **T1S** и **TS** на плоскостях **H** и **V** соответственно. Из точки **T1S** проводим образующие конуса, которые пересекаются с основанием конуса в точках **A** и **B**. Образующие TA и TB будут границами личной тени конуса. Линии **T1SA** и **T1SB** пересекают ось **X** в точках 2 и 3. Эти точки соединяются с точкой **TS**, и таким образом строится тень конуса, падающая на плоскость **V**. 6-рис.



Построение личных и падающих теней сферы.

Чтобы легче понять чертеж, построим контуры собственной и падающей тени сферы отдельно. Горизонтальная проекция собственного контура тени — это окружность **n'**, радиус которой равен отрезку **OA** (см. рисунок 7). Отрезок **OA** определяется по чертежу. Диаметр сферы **BD**, перпендикулярный к световому лучу, будет большой осью эллипса — контура собственной тени **n**, так как он выглядит как эллипс.

Будущий эллипс поворачиваем вокруг диаметра **BD** и совмещаем с очерком сферы.

Разбиваем проекцию тени **n'** и очерк сферы на равные части, и обратным вращением определяем соответствующие точки на очерке (они движутся вдоль направления света).

Из точек окружности **n'** опускаем вертикальные линии, которые пересекаются с линиями движения, проходящими через одноимённые точки на очерке. Эти точки принадлежат контуру собственной тени.

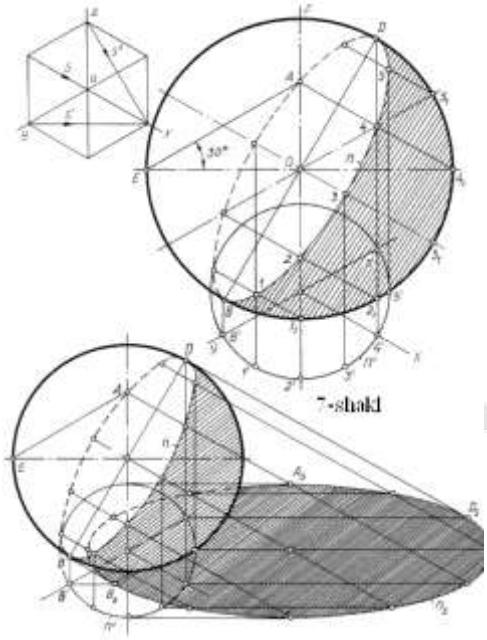
Соединив их плавной и непрерывной линией, получаем эллипс — контур собственной тени.

На рисунке 8 показано построение падающего контура тени сферы **nS**. Падающий контур тени — это эллипс, его точки находятся на пересечении лучей, проведённых через соответствующие точки окружности **n'** и эллипса **n**.

ISSN: 2582-4686 SJIF 2021-3.261,SJIF 2022-2.889,
2024-6.875 ResearchBib IF: 9.948 / 2024

THE MULTIDISCIPLINARY JOURNAL OF SCIENCE AND TECHNOLOGY

VOLUME-5, ISSUE-5



8-рис.

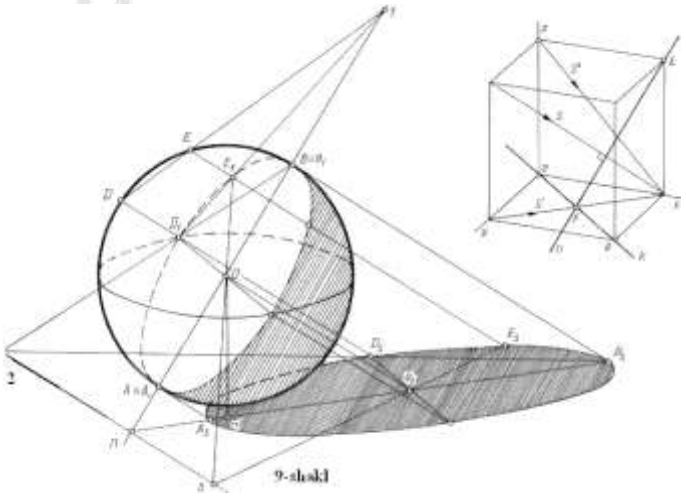
Построение собственных и падающих теней сферы через установление гомологического соответствия

Из приведённых выше примеров нам известно, что как собственная, так и падающая тень сферы на плоскость — это эллипсы. b

Для построения этих эллипсов необходимо установить соответствие:

1. между аксонометрической проекцией сферы и контуром собственной тени,
2. между контуром собственной тени и контуром падающей тени.

В первом случае ось соответствия — это линия пересечения плоскости аксонометрии и плоскости света, проходящей через центр сферы и перпендикулярной направлению света. Во втором случае ось соответствия — это линия пересечения горизонтальной плоскости и плоскости света, перпендикулярной направлению света, то есть плоскости, на которой лежит контур собственной тени.



9-рис.

Для определения положения и направления осей соответствия используется аксонометрическая проекция светового куба.

ISSN: 2582-4686 SJIF 2021-3.261,SJIF 2022-2.889,
2024-6.875 ResearchBib IF: 9.948 / 2024

THE MULTIDISCIPLINARY JOURNAL OF SCIENCE AND TECHNOLOGY

VOLUME-5, ISSUE-5

Рассмотрим построение контуров собственной и падающей тени сферы в диметрической проекции (рисунок 9).

Чтобы определить направление светового луча и осей соответствия, строится диметрия светового куба.

Для построения контура собственной тени устанавливается соответствие между плоскостью аксонометрии P, на которой лежит очерк сферы, и плоскостью N, перпендикулярной направлению света, на которой будет лежать контур собственной тени.

Линия пересечения этих плоскостей — это ось соответствия n, которая определяет большую ось эллипса AB, являющегося контуром собственной тени.

Ось соответствия n параллельна линии EF на изображении светового куба (рис. 9, б).

Теперь необходимо установить соответствие между одной парой точек, принадлежащих очерку сферы в плоскости **P** и контуру тени в плоскости N.

Такими точками будут **D** и $\mathbf{D_1}$.

Точка $\mathbf{D_1}$ — это точка касания светового луча с горизонтальным сечением сферы, проходящим через её центр, потому что отрезок OD1 в пространстве — это радиус окружности, которая образует контур собственной тени, и световой луч перпендикулярен ему.

Следовательно, $\mathbf{D_1}$ — точка касания (она находится проведением линии из центра сферы, параллельной диагонали **OR** основания светового куба).

Если из точки $\mathbf{D_1}$ провести луч в направлении, противоположном световому лучу s, то он пересечёт очерк сферы в точке **D**.

Используя ось соответствия n и пару соответствующих точек **D** и $\mathbf{D_1}$, можно определить другие точки, принадлежащие контуру собственной тени.

На чертеже показано, как по точке **E** определить соответствующую ей точку $\mathbf{E_1}$.

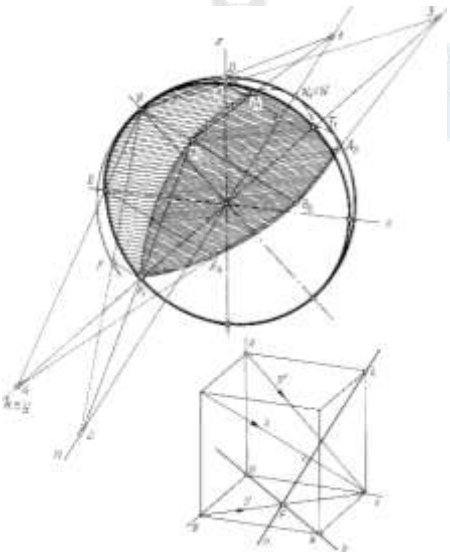
Построение падающей тени сферы на горизонтальную плоскость

Для построения падающей тени сферы на горизонтальной плоскости устанавливается соответствие между плоскостью собственной тени **N** и горизонтальной плоскостью **H**.

Сначала определяется ось соответствия k, которая является линией пересечения плоскостей **N** и **H**. Эта ось параллельна диагонали OR основания светового куба и проходит через точку M.

Точка **M** определяется пересечением линии, проведённой через горизонтальную проекцию центра сферы **O'** параллельно лучу **s'**, с осью соответствия **n**.

Теперь определяется пара соответствующих точек — это точки **O** и **OS**.



Точка OS располагается в месте пересечения линий, проходящих через точки **O** и **O'**, параллельных световым лучам **s** и **s'** соответственно.

На чертеже показано, как определяются точки **As, Ds, Es, Bs,** принадлежащие контуру падающей тени.

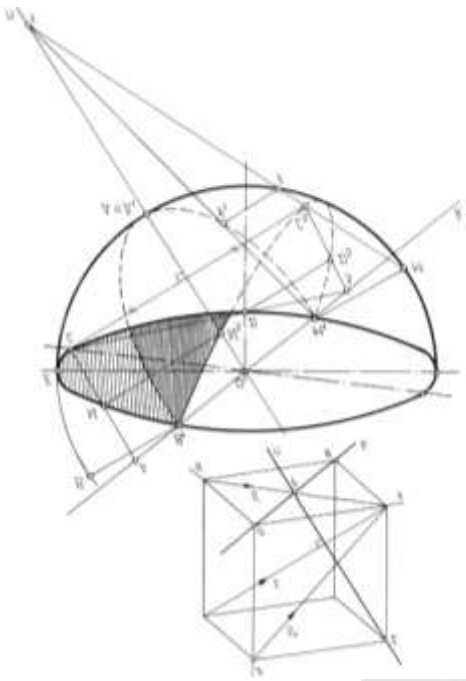
Правила определения собственной и падающей тени через соответствие можно применять ко всем видам аксонометрических проекций.

Кроме того, при помощи соответствий можно строить собственные и падающие тени также на внутренней поверхности сферы.

10-рис.

ISSN: 2582-4686 SJIF 2021-3.261,SJIF 2022-2.889,
2024-6.875 ResearchBib IF: 9.948 / 2024

VOLUME-5, ISSUE-5



На рисунке 10 показано определение собственной и падающей тени на внутренней поверхности горизонтально расположенной полусферы.

Контур собственной тени построен по оси соответствия n и паре точек **M** и **M1** (точки касания **F** и **B** определяются по рисунку 9).

Тень от участка сферы **MDCENB**, падающая на её внутреннюю поверхность, построена по оси соответствия **k** и паре точек **C** и **Cs** (направления осей **n** и **k** определяются по световому кубу на рисунке 10, б). Точки **C** и **Cs** расположены симметрично относительно оси **n**.

На чертеже показано, как определяются точки **Ns** и **Ds**.

11-рис.

На рисунке 11 изображены собственная и падающая тени внутри фронтально ориентированной полусферы.

Для построения собственной тени использованы ось **n** и точки **B** и **B1**. Падающая тень построена по точкам **A** и **As,** симметричным относительно оси **k.** Ось соответствия k совпадает с координатной осью **y**.

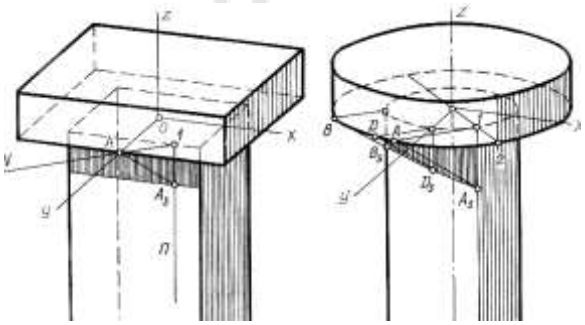
На рисунке 12 показано построение падающей тени от правильной четырёхугольной призмы на такую же призму в диметрии.

Через произвольную точку **A** на ребре верхней призмы, отбрасывающем тень, проводится световая плоскость **N**.

Эта световая плоскость пересекает основание призмы по линии **A1**, а боковую грань нижней призмы — по вертикальной линии **n**, проходящей через точку **1**.

Луч, проведённый через точку **A**, пересекает линию **n** в точке, которая обозначается как **AS**. Это и есть тень точки **A**, падающая на боковую грань нижней призмы.

Так как ребро, отбрасывающее тень, параллельно боковой грани нижней призмы, то и его тень будет проходить через точку **AS** и будет параллельна самому ребру.



12-рис. 13-рис.

На рисунке 12 показано построение тени от прямой четырёхугольной призмы на такую же призму в диметрии.

ISSN: 2582-4686 SJIF 2021-3.261,SJIF 2022-2.889,
2024-6.875 ResearchBib IF: 9.948 / 2024

THE MULTIDISCIPLINARY JOURNAL OF SCIENCE AND TECHNOLOGY

VOLUME-5, ISSUE-5

Через произвольную точку A на рёбрах верхней призмы, отбрасывающих тень, проводится световая плоскость N.

Эта плоскость пересекает основание призмы по линии A1, а боковую грань нижней призмы — по вертикальной линии n, проходящей через точку 1.

Луч, проведённый через точку A, пересекает линию n в точке AS, которая и является проекцией падающей тени этой точки на нижнюю грань призмы.

Поскольку рёбра параллельны, их тени также будут параллельны и пройдут через точку AS.

Построение собственных и падающих теней при комбинации геометрических поверхностей

На рисунке 13 показано построение падающей тени от цилиндра на другой цилиндр. Чертёж цилиндров выполнен в диметрической проекции.

Как известно, собственные тени цилиндров определяются касательными, проведёнными параллельно направлению светового луча.

На чертеже вместо касательных, как на рисунке 5, проведены линии из центров эллипсов, параллельные диагонали **OF** основания светового куба.

Эти линии пересекаются с эллипсами и дают точки касания — **1** и **2**.

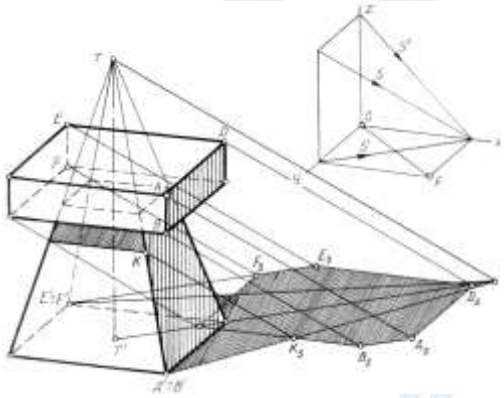
Через эти точки проходят контуры собственных теней цилиндров.

Чтобы построить падающую тень от одного цилиндра на другой, на рёбрах верхнего цилиндра, отбрасывающих тень, выбирается несколько точек, и для каждой из них строится соответствующая тень.

На чертеже показано построение теней от точек **A**, **B** и **D**.

Тень от точки **A** — **As** — падает на контур собственной тени, а тень от точки **B** — **Bs** — попадает на крайнее образующее нижнего цилиндра.

Построение падающих теней от прямой четырёхугольной призмы и пирамиды



14-рис.

На рисунке 14 показано построение падающих теней от призмы и пирамиды в диметрической проекции.

Сначала строятся падающие тени от призмы и пирамиды на горизонтальную плоскость.

Контур падающей тени, как обычно, определяется путём проведения лучей:
— из точек в пространстве — параллельно направлению светового луча,
— из их горизонтальных проекций — параллельно горизонтальной проекции светового луча.
Точки пересечения этих лучей дают контур тени.

Тень от ребра призмы, падающая на переднюю грань пирамиды, строится с использованием луча, направленного противоположно свету.

ISSN: 2582-4686 SJIF 2021-3.261,SJIF 2022-2.889,
2024-6.875 ResearchBib IF: 9.948 / 2024

THE MULTIDISCIPLINARY JOURNAL OF SCIENCE AND TECHNOLOGY

VOLUME-5, ISSUE-5

Для этого из точки пересечения **K**S контуров падающих теней призмы и пирамиды проводится луч в противоположном направлении.

Этот луч пересекается с ребром пирамиды, отбрасывающим тень, в точке **K**. Падающая тень от точки **K** идёт параллельно ребру призмы, отбрасывающему тень.

Построение тени от цилиндра на конус

На рисунке 15 показано построение тени от цилиндра на конус в изометрической проекции.

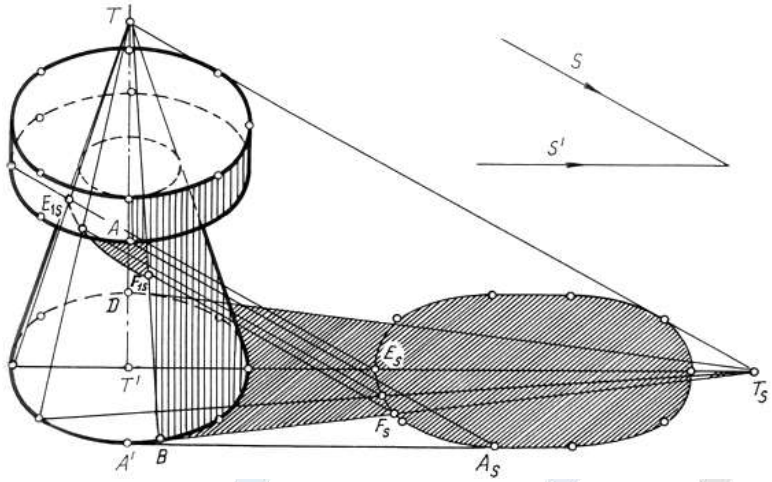
Диаметр основания конуса равен диаметру цилиндра.

Для построения падающей тени от вершины конуса достаточно найти точку её тени **TS**.

Из точки **TS** проводятся касательные к основанию конуса, которые образуют собственные тени — образующие **TB** и **TD**.

Тень от цилиндра строится по аналогии с рисунком 14.

Для построения тени от цилиндра на поверхность конуса используются лучи, направленные в противоположную сторону от света.



15-рис.

Как тени точек **F₁S**, **E₁S** получены из точек **ES** и **FS** соответственно, с помощью противоположно направленных лучей.

Тень точки **N₁S**, лежащей на образующей **KT** конуса, находится следующим образом:

— Определяется тень этой образующей на горизонтальной плоскости — **KTS**;

— Она пересекается с тенью цилиндра в точке **NS**;

— Луч, проведённый от точки **NS** в противоположном направлении, пересекает образующую **KT** в точке **N₁S**.

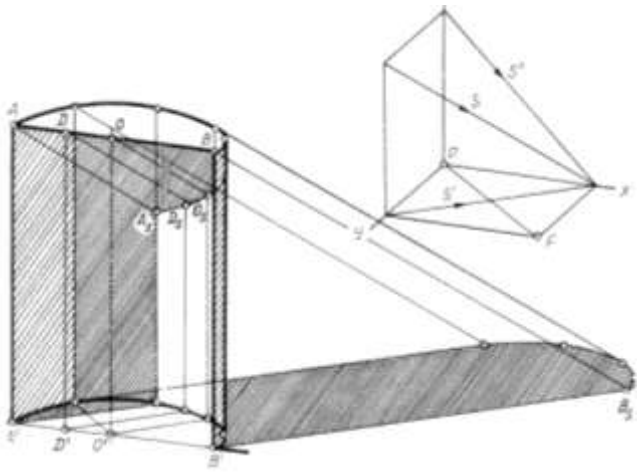
Кривая **E₁S–N₁S–F₁S** образует контур тени, падающей от цилиндра на поверхность конуса.

Построение теней в цилиндрическом арочном элементе (Рисунок 16)

На рисунке 16 показан цилиндрический арочный элемент в диметрии.

Контур собственной тени определяется через центр **O**, из которого проводится линия, параллельная диагонали основания светового куба (сравните с рисунком 13).

ISSN: 2582-4686 SJIF 2021-3.261,SJIF 2022-2.889,
2024-6.875 ResearchBib IF: 9.948 / 2024



16-рис.

Тень от левого вертикального ребра арки падает в направлении горизонтальной проекции светового луча, а затем «ломается» у основания арки и идёт вертикально вниз.

Тень конца ребра **AS** определяется лучом, проведённым из точки **A**. Точка **DS** — из точки **D**, а точка **OS** — из точки **O** с помощью вертикальных световых плоскостей. Соединяя точки **AS–DS–OS–B**, получаем контур тени, падающей на внутреннюю стенку арки. Контур тени от цилиндра на горизонтальную плоскость **H** очевиден по чертежу.

ИСПОЛЬЗОВАННАЯ ЛИТЕРАТУРА:

1. Колотов С.М. и другие Курс начертательной геометрии. КИЕВ 1958.
2. Сайдалиев С.S. Начертательная геометрия и инженерная графика: учебное пособие. Типография ТДПУ. -335 б. 2017 год.
3. Ramazonova G.S. “BRIEF HISTORICAL SUMMARY OF THE DEVELOPMENT OF DESCRIPTIVE GEOMETRY AND ENGINEERING GRAPHICS”, International Journal of Philosophical Studies and Social Sciences. Volume: 33/2022.
4. Рамазонова Г.С. “ЗНАЧЕНИЕ КОМАНДА REVOLVE (ВРАЩЕНИЕ) В ПРОГРАММЕ AutoCAD” статья Central Asian Journal Of Mathematical Theory And Computer Sciences. 04.02.2023.